

УДК 621.565

## КОМПЛЕКСНИЙ ПІДХІД ДО ПЕРЕВЕДЕННЯ ІСНУЮЧИХ ХОЛОДИЛЬНИХ СИСТЕМ НА ХОЛОДОАГЕНТИ ГРУПИ A2L

<sup>1</sup> С. М. Мольський[kriofor69@gmail.com](mailto:kriofor69@gmail.com)

ORCID: 0009-0005-4363-8615

<sup>2</sup> О. С. Мольський[molskiyalex@gmail.com](mailto:molskiyalex@gmail.com)

ORCID: 0009-0001-1413-2931

<sup>3</sup> А. Л. Воронцова[vorontsova@ipmach.kharkov.ua](mailto:vorontsova@ipmach.kharkov.ua)

ORCID: 0000-0002-6521-3424

<sup>1</sup> Громадська Спілка«Холодильна асоціація України»,  
03113, м. Київ, вул. Дружківська, 10, оф. 417<sup>2</sup> Державний біотехнологічний  
університет,

61000, м. Харків, вул. Алчевських, 44

<sup>3</sup> Інститут енергетичних машин  
і систем ім. А. М. Підгорного  
НАН України,61046, Україна, м. Харків,  
вул. Комунальників, 2/10

Сучасні вимоги до холодильної техніки передбачають припинення використання систем із холодаагентами, що руйнують озоновий шар, а також поступове зменшення застосування холодаагентів із високим показником впливу на глобальне потепління. З огляду на скане актуальним завданням сьогодення є заміна екологічно неприйнятного холодаагента на нейтральний холодаагент до озону і з низьким потенціалом глобального потепління. Мета даної роботи – розроблення й демонстрація багатоваріантного підходу при аналізі зазначеній проблеми – заміни холодаагентів HCFC та HFC, на холодаагенти групи A2L із потенціалом глобального потепління нижче 500. Особлива увага приділена потенціалу підвищення продуктивності й енергоефективності холодильної системи. У статті розв'язано наступні задачі дослідження: визначено вплив заміни холодаагента на роботу основних елементів системи; запропоновано засоби і методи підвищення холодопродуктивності холодильної системи при заміні холодаагента; розроблено методи підвищення енергетичної ефективності холодильної системи. Визначено основні змінення у роботі холодильної машини при заміні на холодаагент групи A2L, а саме встановлено, що при цьому змінюються показники компресора, потребується заміна мастила, необхідно враховувати вплив температурного гайду, а також змінення у роботі конденсатора та випарнику. Для підвищення холодопродуктивності холодильної машини запропоновано наступні засоби і методи: підбір холодаагенту, що може забезпечити необхідну холодопродуктивність; підвищення продуктивності компресора або частотним регулюванням, або встановленням додаткового компресора; мінімізація витрат тиску в трубопроводах гарячої пари і всмоктування; зменшення градієнту температур на конденсаторі й випарнику; зниження температури повітря на вході в конденсатор адіабатним охолодженням; додаткове переохолодження рідкого холодаагента; оптимізація режимів роботи установки. Встановлено найбільш ефективний метод – зменшення перепаду температур між температурами конденсації та кипіння у найбільшій кількості годин річного циклу.

**Ключові слова:** холодаагент, температурний гайд, холодопродуктивність, потенціалом глобального потепління, адіабатне охолодження.

### Вступ

Сучасні вимоги до холодильної техніки передбачають припинення використання систем із холодаагентами, що руйнують озоновий шар, а також поступове зменшення застосування холодаагентів із високим показником впливу на глобальне потепління. Будь-який витік першої групи холодаагентів створює умови для повного припинення експлуатації даної системи на вказаному холодаагенті через неможливість дозаправлення забороненою речовиною. Для власників таких систем існує два шляхи вирішення вказаної проблеми: перший – це повністю замінити холодильну систему з урахуванням заміни у довгостроковій перспективі синтетичних холодаагентів на природні, а саме на діоксид вуглецю, пропан або аміак. Крім зростання фінансових витрат, перехід на один із трьох природних холодаагентів вимагатиме додаткового нарощування уваги з боку експлуатуючого персоналу до безпеки холодильної системи. До того ж причиною посилення заходів безпеки є підвищенні тиски при експлуатації систем на CO<sub>2</sub> (R744), особливо в період високих температур навколишнього середовища, висока вогненебезпечність пропану (R290) і крайня токсичність і вибухо-ї вогненебезпечність аміаку NH<sub>3</sub> (R717). Крім того, подібна заміна буде істотно дорожчою за раніше придбані системи, але

Статтю ліцензовано на умовах Ліцензії Creative Commons «Attribution» («Атрибуція») 4.0 Міжнародна.  
© С. М. Мольський, О. С. Мольський, А. Л. Воронцова, 2025

найнебажаніше для існуючих виробництв – необхідність зупинення виробництва на час демонтажу старої системи й монтажу і введення в експлуатацію нової.

Можлива альтернатива (другий шлях), яка вписується в чинне законодавство, менш небезпечна, і не така трудо- й капіталомістка, а головне, оперативна, – це заміна екологічно неприйнятного холодаагенту на нейтральний холодаагент до озону і з низьким потенціалом глобального потепління (ПГП). Пропонований варіант також не є абсолютно ідеальним рішенням, оскільки запропоновані альтернативні холодаагенти з точки зору займистості небезпечні, бо легкозаймисті. Варто додати, вони, з одного боку, не такі горючі, як пропан, бо спалахують при значно вищій концентрації, але з іншого – мають різний ступінь ПГП. Деякі досить близькі за показником до природних холодаагентів, інші ж з вищими показниками. Однак існує третій важливий факт, це деяка втрата продуктивності холодаагентів, що замінюються. Останній варіант може бути критично важливим для споживачів, оскільки безпосередньо пов'язаний з якістю холодильної обробки продукції, а втрата потужності холодильною системою – це порушення встановленого технологічного процесу.

Як відомо, холодильна система має значний потенціал підвищення встановленої холодопродуктивності. При правильному підході до заміни холодаагентів можна не тільки помітно наростити продуктивність, а і завдяки використанню різних технічних рішень знизити енергоспоживання системи, що, у свою чергу, дозволить знизити негативний вплив на екологію та знизити експлуатаційні витрати.

## Огляд літератури

Питання переходу до нового покоління холодаагентів, безпечних за екологічними показниками і таких, які мають одночасно високу енергетичну ефективність, були предметом вивчення багатьох авторів [1–7]. У роботі [1] розглянуто проблему заміни (ретрофіту) заборонених холодаагентів альтернативними робочими речовинами, які не поступаються за своїми термодинамічними й експлуатаційними характеристиками холодаагентам, що замінюються. Запропоновано методику, що реалізовано у вигляді пакета прикладних програм для робочих тіл, таких, як холодаагенти R134a та R410A.

Процедура ретрофіту холодаагенту актуальна для холодильного обладнання, що перебуває в експлуатації. Беручи вказане до уваги, у роботі [6] розглядалися спліт-кондиціонери як найбільш поширені системи у суспільстві, що активно експлуатуються. Запропоновано заміну холодаагентів групи HFC, наприклад R410a, який є зеотропним холодаагентом, на R32. За результатами експериментального дослідження й проведеного аналізу зроблено висновок, що в тій самій системі холодаагент R32 підходить як холодаагент для заміни холодаагенту R410a зі зниженням холодильного коефіцієнта термотрансформації (COP) приблизно на 4%.

У дослідженні [7] оцінюється продуктивність побутового кондиціонера із використанням R32 для заміни R410A. Однією з найбільших проблем під час ретрофіту є визначення ідеальної маси холодаагенту, яка, зрештою, приведе до оптимальної продуктивності системи. Експерименти проводилися із застосуванням спліт-кондиціонера потужністю 2,5 кВт. Результати показали, що заміна R410A на R32 знижує COP. Отже, автори [7] не рекомендують заміну R410A на R32 в кондиціонерах, розроблених для R410A.

У роботі [8] представлено експериментальне дослідження характеристик теплопередачі при випаровуванні зеотропної суміші R407C і квазізеотропної суміші R410A через гладку трубку малого діаметра. Результати показали, що R410A має кращій коефіцієнт теплопередачі, ніж R407C.

Для оцінки впливу охолоджувального навантаження на продуктивність побутового спліт-кондиціонера було проведено експериментальне дослідження в роботі [9] шляхом заміни холодаагенту R22 на вуглеводневий холодаагент (HCR22) під час модернізації. Згідно з результатами показують в R22 COP зростає зі збільшенням навантаження на охолодження (0 Вт, 1000 Вт, 2000 Вт і 3000 Вт) на 16,10%, 12,66%, 16,56% і 19,99% відповідно. Крім того, експериментальні дані доводять, що HCR22 має кращу продуктивність порівняно з R22, а це вказує на те, що HCR22 можна використовувати для модернізації існуючого RSAC з R22.

Як видно з огляду літератури, роботи присвячені переважно експериментальним дослідженням, носять локальний характер стосовно спліт-систем малої потужності, а отже, не можуть бути поширені на інші системи. До того ж у роботах, крім [10], не розглядаються холодаагенти групи A2L. Таким чином, актуальним питанням залишається розроблення підходу до заміни на озонобезпечні холодаагенти існуючих холодильних систем різної потужності, що знаходяться в експлуатації.

## Мета й задачі дослідження

Мета даної роботи – розроблення й демонстрація багатоваріантного підходу при аналізі окресленої проблеми – заміни холодаагентів HCFC та HFC на холодаагенти групи A2L із ПГП нижче 500. Особлива увага приділена потенціалу підвищення продуктивності й енергоефективності холодильної системи.

Завдання дослідження:

- визначити вплив заміни холодаагенту на роботу основних елементів системи;
- запропонувати засоби і методи підвищення холодопродуктивності холодильної системи при заміні холодаагенту;
- розробити методи підвищення енергетичної ефективності холодильної системи.

## Показники, які враховують при заміні холодаагентів

При переведенні холодильної системи на новий холодаагент слід враховувати різні показники, такі, як: потенціал озонової руйнації; ПГП; температурний гістерезис – глайд, сумісність із певним типом мастила; група з токсичності й безпеки, нижня межа займання. Кожен із згаданих показників є серйозною умовою для використання конкретного холодаагенту.

Варто зауважити, що нині застосування систем, в яких розглядається холодаагент з відмінним від 0 показником потенціалу озонової руйнації, заборонено.

Показник ПГП вказує міру впливу різних газів на глобальне потепління. За одиницю приймається вплив 1 т CO<sub>2</sub>. Ефект від викиду в атмосферу Землі 1 т конкретного газу еквівалентний викиду 1 т CO<sub>2</sub>, помножений на показник ПГП цього газу. Через поширення холодаагентів із низьким ПГП все більше з'являється продуктів, які класифікуються як займисті. Усі доступні в даний час холодаагенти з ПГП < 500, за винятком CO<sub>2</sub> (R744), є пальними, а деякі з них, наприклад аміак (R717), є й токсичні. Існує план поетапного скорочення холодаагентів із високим ПГП, за яким після 2030 р. слід розглядати холодаагенти з показником менше 500 (рис. 1).

Наявність температурного гістерезису (глайда) означає розбіжність при однаковому тиску температур компонентів холодаагентів суміші. Це, у свою чергу, впливає на роботу теплообмінного обладнання й створює певні труднощі при налагодженні й сервісі системи. Зміна типу мастила в холодильному контурі створює високі вимоги до очищення системи при заміні холодаагенту.

Категорія безпеки показує ступінь токсичності й займистості холодаагенту, що, можливо, вимагатиме особливої уваги до обсягів заправки холодаагенту, заміни певних елементів і додаткових пристроїв безпеки.

Класифікація холодаагентів з точки зору безпеки виконується за стандартом ASHRAE 34 на підставі показників їх токсичності й займистості, отриманих під час стандартизованих випробувань. Вона визначає дві категорії токсичності холодаагентів – А та В. До категорії А належать нетоксичні холодаагенти, категорії В – токсичні. Для класифікації займистості

холодаагентів виділено чотири групи: 1, 2L, 2, 3. Чим більше число, тим легше займається холодаагент. До категорії A2L відносять нетоксичні важкозаймисті холодаагенти, наприклад, R-1234yf, R-454C, R-455A. Вони відрізняються нижчою займистістю і набагато меншою швидкістю горіння, ніж легкозаймисті холодаагенти A2 і дуже займисті A3 (R290). Врахування різних критеріїв дозволяє скласти остаточну класифікацію, представлена на схемі (рис. 2).

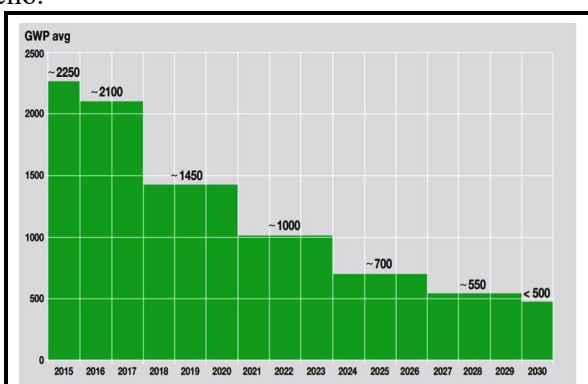


Рис. 1. Діаграма. Теоретичне середнє значення ПГП за рахунок поетапного виведення з обігу з 2015 по 2030 роки [11]

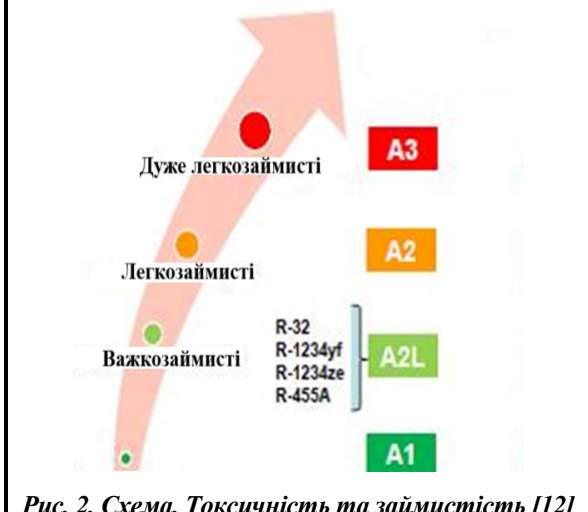


Рис. 2. Схема. Токсичність та займистість [12]

## Зміни в холодильній машині при заміні холодаагенту

Для моделювання роботи системи використовується програма одного з провідних виробників компресорів Bitzer [13]. Як модель для дослідження взято шестициліндровий напівгерметичний компресор 6FE-44Y. Як базовий холодаагент, що підлягає заміні, розглядається R22, а як альтернативний – R454C (табл. 1). Саме цей холодаагент має низький ПГП < 500 (148), не є токсичним і входить до групи важкозаймистих (A2L). Відповідно до даних заводу-виробника саме з цим холодаагентом може працювати компресор 6FE-44Y і мати найкращі характеристики продуктивності у порівнянні з іншими холодаагентами групи A2L [14].

Перш ніж робити заміну, слід переконатися у сумісності конкретного холодаагенту з цією моделлю компресора. Особливу увагу треба приділити заходам підвищення холодопродуктивності, покращенню енергоефективності й безпеки при роботі з холодаагентами групи A2L. Безпекові заходи стосуються усього електричного обладнання (ТЕНів повіtroохолоджувачів, підключення моторів вентиляторів і компресора, електричних щитів) і систем реагування на можливі витоки пожежонебезпечного холодаагенту.

Далі крок за кроком розглянемо вплив на основні елементи й роботу холодильної машини в цілому при переході на холодаагенти групи A2L.

## Вибір мастила при переході на холодаагенти групи A2L

У табл. 1 показані характеристики R22 і його альтернативні холодаагенти. При заміні слід звернути увагу на тип мастила – мінеральне або напівсинтетичне, що відрізняється від використовуваних групою A2L синтетичних мастик. Сумісність мастильних матеріалів суверо регламентована (табл. 2). Максимальний допустимий вміст мінерального мастила в синтетичному не повинен перевищувати 1% [15]. Тому після видалення із системи старого мінерального мастила треба якісно промити систему спеціальними рідинами для видалення його залишків та інших забруднень. Шланги й вимірювальний інструмент, що підключається до системи, повинні бути чистими і не містити залишків мінерального мастила.

Через високу гігроскопічність синтетичних мастик операцію вакуумування слід виконувати особливо ретельно.

Необхідно якісно проводити зварювальні роботи при додаванні до системи додаткових елементів, а також використовувати фільтри тонкого очищення на всмоктуванні компресора. Заміні підлягають фільтри-осушувачі й індикаторні оглядові очі з урахуванням нового холодаагенту й мастила.

Таблиця 1. R22 й альтернативні холодаагенти [13]

	R22	R407C	R422D	R438A	R290	R1270	R717	R744	R454C
Group	HCFC	HFC	HFC	HFC	HC	HC	NH <sub>3</sub>	CO <sub>2</sub>	HFO/HFC
Components		R32/125/134a	R125/134a/600a	R32/125/134a/600/601a					R32/1234yf
Application max (°C)	12	12	0	0	12	12	12	20	12
Application min (°C)	-45	-25	-40	-40	-40	-40	-20	-20	-40
Appl. 2-stage max (°C)	-20				-20	-20	-15	-10	-25
Appl. 2-stage min (°C)	-50				-55	-55	-50	-50	-65
Oil 1	MO	POE	POE	POE	PAO	PAO	MO	POE	POE
Oil 2	AB	PVE	PVE	PVE	PAG	PAG	PAO	PAG	PVE
Oil 3					POE	POE	MO/HC		
Normal boiling point (°C)	-40,7	-43,8	-43,2	-42,3	-42,1	-47,6	-33,4	-78,3	-45,6
Normal dew point (°C)	-40,7	-36,7	-38,3	-35,7	-42,1	-47,6	-33,4	-78,3	-37,8
Temperature glide (K)	0	7,1	4,9	6,6	0	0	0	0	7,8
Crit. temp. (°C)	96	86	78	83	97	91	132	31	86
Crit. pressure (bar)	49,9	46,15	37,95	41,79	42,5	45,6	113	73,8	43,2
ODP	0,055	0	0	0	0	0	0	0	0
GWP AR4	1810	1774	2729	2264	3	2	0	1	148
GWP AR6	1960	1908			0,02		1	1	166
Safety class	A1	A1	A1	A1	A3	A3	B2L	A1	A2L
Pract. limit AEI (kg/m <sup>3</sup> )	0,3	0,31	0,26	0,079	0,008	0,008	0,00035	0,07	0,059

Таблиця 2. Мастильні матеріали для компресорів [14]

	Traditional oils				New lubricants			
	Mineral oil (AO)	Alkyl-alkylene benzene (AB)	Mineral oil + alkyl-alkylene benzene	Polyalpha-olefin (PAO)	Polyol ester (POE)	Poly(methyl ether) (PME)	Poly(glycol) (PG)	Hydro cracked mineral oil
(H)CFC	Good	Good	Good	⚠ VG	Good	Good	Good	Good
Service blends with R22	⚠ VG	Good	Good	⚠ VG	Good	Good	Good	Good
HFC + blends	Good	⚠ VG	Good	Good	Good	Good	⚠ VG	Good
HFC/HC blends	⚠ VG	⚠ VG	⚠ VG	Good	Good	Good	Good	Good
HFO+HFO/HFC blends	Good	Good	Good	Good	AD	AD	Good	Good
Hydrocarbons	VG	VG	VG	VG	VG	VG	⚠ VG	Good
NH <sub>3</sub> · R723	Good	Good	Good	Good	Good	Good	⚠ VG	Good
CO <sub>2</sub>	Good	Good	Good	⚠ VG	AD	AD	AD	Good

Legend: Good suitability (Solid green), Application with limitations (Hatched green), Not suitable (White), ⚠ VG (Triangle symbol), Especially critical with moisture (Triangle symbol), Possible higher basic viscosity (VG), AD special formulation.

### Змінення показників компресора при переході на холодаагенти групи A2L

При заміні різні холодаагенти забезпечуватимуть відмінну холодопродуктивність, яку при однакових температурних режимах кипіння й конденсації забезпечуватиме компресор. Для компресора 6FE-44Y при заміні R22 на R454C холодопродуктивність знизиться орієнтовно на 20% на режимах, зазначених у табл. 3. За однакових умов СОР компресора зменшиться на 9,4%. Проте зміни, які також торкнуться теплообмінного обладнання, змінять це співвідношення. Головною причиною цього буде температурний глайд R454C.

**Таблиця 3. Показники компресора 6FE-44Y з R22 та R454C на однакових режимах**

Показники	Холодаагент	
	R22	R454C
Температура кипіння $t_{cv}$ , °C	-5	-5
Температура конденсації $t_{cond}$ , °C	45	45
Переохолодження рідини $t_{sc}$ , K	1	1
Повний перегрів $\Sigma t_{sh}$ , K	8	8
Перегрів у випарнику $t_{sh}$ , K	6	6
Частота обертів $freq$ , Гц	50	50
Холодопродуктивність $Q$ , кВт	93,8	78,1
Споживання компресора $N$ , кВт	33,4	30,5
Навантаження на конденсатор $QN$ , кВт	128	110
СОР	2,80	2,56

### Вплив температурного глайду

Деякі холодаагенти, що є сумішшю кількох хімічних речовин, можуть мати температурний гістерезис (глайд) – розбіжність (ковзання) температур сполук при однаковому тиску у процесі фазових переходів. У табл. 1 були показані холодаагенти з глайдом 7,1 K (R407C), 4,9 K (R422D), 6,6 K (R438) і 7,81 K (R454C). Це максимально можливі розбіжності температур фазових переходів. Залежно від конкретних тисків значення можуть бути трохи меншими. Тому заправка і дозаправка системи має проводитися тільки в рідкій фазі [15]. При роботі з такими холодаагентами не можна за показанням манометра визначити температуру холодаагента у випарнику або конденсаторі. Довідкова література й розрахункові програми дають для конкретного тиску дві різні температури: температуру точки роси (кінцеву температуру пари при кипінні або початку конденсації) і температуру закипання (початкову температуру кипіння або кінцеву температуру при конденсації). Це впливає на: продуктивність теплообмінного обладнання (випарників і конденсаторів), на налаштування терморегулюючого вентиля (TPB), на аналіз роботи й продуктивність усієї системи.

### Особливості роботи конденсатору при заміні холодаагенту

Різниця в роботі конденсатора при температурному глайді виглядає наступним чином (табл. 4). Для холодаагенту R454C при тиску 16,54 бар конденсація почнеться при температурі 45 °C. Для холодаагенту з нульовим глайдом конденсація проходить за однакової температури, наприклад, при 45 °C. Натомість зменшення температури в конденсаторі нижче 45 °C говорить про переохолодження рідини. Для R454C конденсація парів закінчиться при 38,3 °C, і тільки після цієї температури, при подальшому її зниженні, почнеться переохолодження рідкого холодаагенту. При цьому потужність конденсатора внаслідок зниження середньої логарифмічної температури зменшиться. І при однаковому перепаді температур між навколишнім середовищем і початком конденсації замість 128 кВт при холодаагенті R22 забезпечить лише 84 кВт при холодаагенті R454C. Навіть з урахуванням загальної втрати продуктивності компресором тиск конденсації трохи підвищиться.

**Таблиця 4. Показники компресора (6FE-44Y) на R22 та R454C з урахуванням зміни  $\Delta t$  на конденсаторі та випарнику**

Показники	Холодаагент	
	R22	R454C
Температура кипіння $t_{cv}$ , °C	-5	-3
Температура конденсації $t_{cond}$ , °C	45,0	47,1
Переохолодження рідини $t_{sc}$ , K	1	1
Повний перегрів $\Sigma t_{sh}$ , K	8	8
Перегрів у випарнику $t_{sh}$ , K	6	6
Частота обертів $freq$ , Гц	50	50
Холодопродуктивність $Q$ , кВт	93,8	82,0
Споживання компресора $N$ , кВт	33,4	32,1
Навантаження на конденсатор $QN$ , кВт	128	115
СОР	2,80	2,55

### Зміни в роботі випарника при заміні холодаагенту

Більш серйозні зміни відбуваються у випарнику. Якщо знехтувати втратами тиску в теплообмінному устаткуванні, трубопроводах й арматурі, то картина буде наступною. Для холодаагенту R454C при

тиску у випарнику 3,821 бар температура початку кипіння холодаагенту на лінії кипіння буде  $-12,8^{\circ}\text{C}$ , температура на виході з розширювального клапана  $-10,3^{\circ}\text{C}$ , точка роси на лінії кипіння  $-5^{\circ}\text{C}$ , температура виходу з випарника дорівнюватиме  $1^{\circ}\text{C}$  при перегріві  $6\text{ K}$ , температура на вході у клапан компресора на стороні всмоктування з урахуванням повного перегріву  $-8\text{ K}$ , компресора  $-3^{\circ}\text{C}$ .

Таким чином, якщо при холодаагенті R22 температура кипіння у випарнику була  $-5^{\circ}\text{C}$  при постійному тиску 4,22 бар (абс.) і не змінювалася поки не википіла вся рідка фракція, то у випадку з R454C при постійному тиску 3,957 бар, що відповідає точці роси на лінії кипіння  $-4^{\circ}\text{C}$ , температура у випарнику у процесі кипіння змінюється від  $-10,3^{\circ}\text{C}$  до  $-5^{\circ}\text{C}$ . Потенціал продуктивності випарника на такому режимі зростає з  $93,8\text{ kVt}$  на R22 до  $118\text{ kVt}$  на R454C. Проте, враховуючи те, що продуктивність компресора менша за вказану величину, слід очікувати зниження перепаду температур точки роси на випарнику з  $-5^{\circ}\text{C}$  до  $-3^{\circ}\text{C}$ .

Таким чином, робота зі зміною холодаагенту впливає на характеристики теплообмінного обладнання, що, у свою чергу, позначається на показниках роботи холодильної машини в цілому (табл. 5).

В табл. 5 наведено дані для точок, які зображені на схемі холодильної машини та діаграмі холодильного циклу (рис. 3), за наступних умов: переохолодження в конденсаторі  $1\text{ K}$ ; додаткове переохолодження  $0\text{ K}$ ; перегрів у випарнику  $6\text{ K}$ ; перегрів після випарника  $2\text{ K}$ ; втрата тиску на лінії всмоктування еквівалентно  $0\text{ K}$ ; втрата тиску на лінії нагнітання еквівалентно  $0\text{ K}$ .

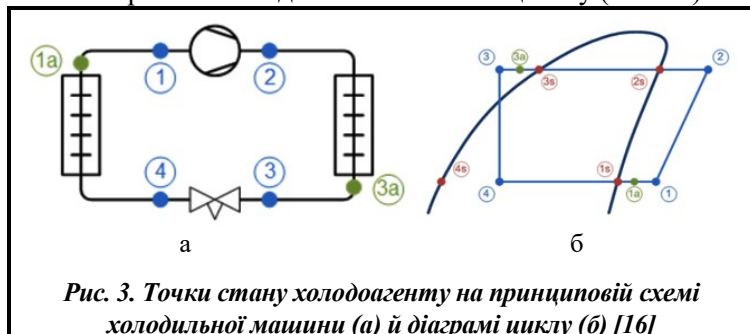


Рис. 3. Точки стану холодаагенту на принциповій схемі холодильної машини (а) й діаграмі циклу (б) [16]

Таблиця 5. Показники холодильної системи на R454C

Точка	Процеси в елементах системи	Температура, $^{\circ}\text{C}$		Тиск (абс.), бар	
		1	2	1	2
1	Всмоктування компресором	3	5	3,821	4,096
2	Нагнітання компресором	73,7	75,2	16,54	17,44
2s	Точка роси на лінії конденсації	45,0	47,1	16,54	17,44
3s	Закінчення конденсації на лінії конденсації	38,3	40,5	16,54	17,44
3a	Вихід з конденсатора	37,3	39,5	16,54	17,44
3	Вхід у ТРВ (з урахуванням додаткового переохолодження)	37,3	39,5	16,54	17,44
4	Вихід з ТРВ	-10,3	-8,2	3,821	4,096
4s	Мінімально можлива температура кипіння	-12,8	-10,8	3,821	4,096
1s	Точка роси на лінії кипіння	-5	-3	3,821	4,096
1a	Вихід з випарника	1	3	3,821	4,096

### Методи підвищення холодопродуктивності холодильної системи

Незважаючи на те, що підвищення продуктивності випарника дає можливість системі працювати з більшою продуктивністю, ніж на передбачуваних показниках, система з холодаагентом R454C все одно матиме на 13% меншу за проєктну холодопродуктивності.

Існує не менше семи напрямів підвищення холодопродуктивності холодильної системи:

1. Підвищення продуктивності компресора:
  - частотним регулюванням;
  - додатковим компресором.
2. Підбір холодаагенту, що може забезпечити необхідну холодопродуктивністю
3. Мінімізація витрат тиску ( $\Delta P$ ) в трубопроводах гарячої пари і всмоктування:
  - зменшенням лінійних втрат;
  - зменшенням місцевих втрат.
4. Зменшення градієнта температур ( $\Delta T$ ) на конденсаторі й випарнику:
  - збільшенням площин теплообміну;
  - підвищенням коефіцієнта тепловіддачі.
5. Зниження температури повітря на вході в конденсатор адіабатним охолодженням:

- одноступеневе охолодження;
  - двоступеневе охолодження.
6. Додаткове переохолодження рідкого холодаагенту:
- за допомогою теплообмінників;
  - за допомогою холодильних машин.
7. Оптимізація процесів:
- збільшення коефіцієнта робочого часу холодильної машини;
  - зменшення теплових навантажень на холодильну систему.

### **Підвищення холодопродуктивності компресора**

Одним із досить доступних методів підвищення холодопродуктивності компресора є використання частотного перетворювача (інвертора), який шляхом зміни обертів мотору може змінювати об'ємну продуктивність. Встановлення зовнішнього перетворювача частоти обертів можлива за трьох умов. Перша: при збільшенні обертів двигун не повинен споживати струм, вищий за той, що зазначив виробник компресора. Друга: система замащування в компресорі має бути розрахована на використання інвертору, особливо при зменшенні обертів, коли можливе погіршення якості замащування елементів тертя. Третя: зменшення обертів може погіршити якість охолодження обмоток двигуна парою, що всмоктується. У цілому виробники вказують в характеристиках обладнання можливість використання конкретного компресора з перетворювачем частоти, діапазон регулювання продуктивності, максимальний робочий струм. Розрахункові програми дають можливість оцінити ефект, який частотний перетворювач дає за конкретних умов. Треба брати до уваги те, що цей метод має низку переваг і недоліків. Серед переваг, крім підвищення холодопродуктивності, це можливість плавного регулювання потужності залежно від теплового навантаження на компресор, значне зменшення пускових струмів. Недолік цього методу – додаткове споживання електричної енергії самим частотним пристроєм (приблизно 5% від споживання компресора) і зменшення загального СОР унаслідок відповідного збільшення  $\Delta t$  на теплообмінниках. Потенціал – підвищення продуктивності компресора 6FE-44Y завдяки інвертору до 40%. Треба зазначити, що збільшення продуктивності компресора не теж саме, що збільшення продуктивності холодильної машини в цілому, бо такі зміни впливають на роботу теплообмінного обладнання (зрост температурних градієнтів) і збільшення втрат тиску в трубопроводах та інших елементах гіdraulічного контуру. Із табл. 6 можна побачити, що збільшення частоти обертів на 20%, з 50 до 60 Гц, дає ефект підвищення загальної продуктивності холодильної машини на 13% стосовно попереднього рівня.

Якщо встановлення частотного перетворювача (ПЧ) неможливе, то в систему можна інтегрувати додатковий компресор відповідної потужності.

### **Використання іншого холодаагенту**

Серед доступних до використання з конкретною моделлю компресора холодаагентів, на жаль, немає таких, щоб були в змозі підвищити холодопродуктивність до необхідного (початкового) рівня.

### **Мінімізація витрат в трубопроводах гарячої пари та всмоктування та елементах автоматики**

Системи, у яких достатньо великі відстані між теплообмінним обладнанням і компресором, зазвичай мають лінійні втрати тиску на трубопроводах. Крім того, додаткові втрати тиску можуть бути на будь-яких елементах холодильної автоматики, що знаходяться на трубопроводах пари. При проектуванні припускають, що загальні втрати можуть бути до 2 К (еквівалентно). Зниження температури конденсації на 1 К збільшує холодопродуктивність компресора на 1,6–2,8% (табл. 7). Підвищення температури

**Таблиця 6. Показники компресора (6FE-44Y)  
з урахуванням використання ПЧ**

Показники	Холодаагент + пристрій		
	R22	R454C	R454C + ПЧ
Температура кипіння $t_{ev}$ , °C	-5	-3	-3,3
Температура конденсації $t_{cond}$ , °C	45,0	47,1	48,6
Переохолодження рідини $t_{sc}$ , K	1	1	1
Повний перегрів $\Sigma t_{sh}$ , K	8	8	8
Перегрів у випарнику $t_{sh}$ , K	6	6	6
Частота обертів $freq$ , Гц	50	50	60
Холодопродуктивність $Q$ , кВт	93,8	82,0	93,9
Споживання компресора $N$ , кВт	33,4	32,1	39,8
Навантаження на конденсатор $QN$ , кВт	128	115	135
COP	2,80	2,55	2,36

випаровування на 1 К підвищує холодопродуктивність компресора на 4,03–6,31% (табл. 7), тобто при наявності максимально припустимих втрат тиску система має потенціал до покращення. Насамперед це або використання трубопроводів із більшим діаметром, або встановлення додаткових паралельних трубопроводів. Проте в кожному випадку треба порівнювати загальні витрати на такі методи з ефектом, що вони можуть забезпечити порівняно з іншими методами. Крім того, треба брати до уваги той факт, що збільшення діаметрів трубопроводів впливає на зменшення швидкості холодаагенту, що, у свою чергу, може привести до

погіршення циркуляції холодильного мастила у системі, його погане повернення до картера компресора.

Що стосується окремих елементів автоматики, на яких можуть бути значні втрати тиску, то також можна розглянути два шляхи. Перший – заміна цих елементів на нові з більшою пропускною можливістю. Другий – встановлення паралельно по потоку холодаагенту таких самих елементів.

Потенціал збільшення холодопродуктивності компресора, завдяки зменшенню втрат тиску, приблизно від 8 до 18%, залежно від режимів роботи системи. Також важливо розуміти, що потенціал зниження втрат тиску на лініях нагнітання і всмоктування не те саме, що потенціал підвищення холодопродуктивності холодильної машини загалом.

У прикладі, що розглядається, система не мала додаткових втрат тиску. Проте, якщо температури точки роси зблизилися на 2 К на стороні конденсації і на 2 К на стороні всмоктування, то продуктивність компресора зросла б на ≈11%.

### **Зменшення градієнта температур $\Delta t$ на конденсаторі й випарнику**

Підвищення холодопродуктивності можливе завдяки зменшенню градієнта температур на головних теплообмінниках холодильної машини: для зниження температури конденсації та/або підвищення температури випаровування це – більш ефективний засіб, ніж попередній. По-перше, таке можливе завдяки збільшенню площин теплообміну або шляхом заміни старого на новий, більш потужний теплообмінник, або паралельного встановлення додаткового. По-друге, можна підвищити коефіцієнт тепловіддачі шляхом або збільшення обертів двигуна вентилятора, або встановлення більш потужного вентилятора. Звісно, в обох випадках, якщо є така змога, перший спосіб може привести до 50% зменшення температурного градієнта, але за умови, що це дозволяє система регулювання заповнення теплообмінника, наприклад, така, як ТРВ. Потенціал покращення другого способу складає приблизно до 20%. Кінцева ефективність залежить від того, наскільки великий був градієнт спочатку. Зазвичай, для випарника з DX-схемою підключення при  $\Delta t=10$  К можемо зробити покращення на 3–4 К, для конденсатора з  $\Delta t=10$  К – до 5 К. Більш ефективні варіанти також можуть існувати, але вони будуть занадто складні й вартісні. Треба розуміти, потенціал покращення теплообміну не те саме, що потенціал підвищення холодопродуктивності холодильної машини в цілому, бо як і в попередніх методах безпосередньо впливає на продуктивність компресора.

### **Зниження температури повітря на вході в конденсатор адіабатним охолодженням води**

Даний метод дозволяє збільшити холодопродуктивність не тільки машин, в яких виникла така потреба завдяки переводу на інший холодаагент, а й тоді, коли в теплу пору року внаслідок суттєвого підвищення температури конденсації зменшується холодопродуктивність всіх холодильних машин з конденсаторами повітряного охолодження. Більш ефективним, ніж попередній спосіб покращення такої ситуації – використання ефекту зменшення температури повітря завдяки адіабатному охолодженню при випаровуванні води. Чим більша температура повітря, чим менша її відносна вологість, тим вищий температурний градієнт охолодження. Використання сучасних адіабатичних поверхонь дає змогу охолоджувати повітря дуже близько до так званої температури мокрого термометра. На приклад, при температурі сухого термометра 35 °C і відносній вологості 25% температура вологого термометра буде 20,3 °C, а температура повітря, що пройде через камеру зволоження або адіабатичну поверхню, залежно від коефіцієнта сaturaції може бути 21–23 °C. Можливе використання двоступенево-

**Таблиця 7. Підвищення продуктивності у % компресору (6FE-44Y R454C) при зниженні та підвищенні температури конденсації**

Зміна температури конденсації, К	Температура кипіння, °C			
	0	-10	-20	-30
-1	1,69	1,91	2,08	2,80
-5	8,20	8,73	9,83	11,86
-10	15,20	16,10	18,10	21,20
+1	4,03	4,49	5,05	6,31
+5	18,60	20,10	22,60	26,80

невого адіабатного охолодження, коли температура повітря буде між температурами точки роси ( $12^{\circ}\text{C}$ ) й вологого термометра ( $20,3^{\circ}\text{C}$ ). Двоступеневе випарне охолодження здійснюється наступним чином. Повітря навколошнього середовища на вході в теплообмінник прямого випарного охолодження попередньо охолодається, коли проходить через теплообмінник «повітря – вода». Вода для цього теплообмінника попередньо охолодається у процесі проходження через окремий багатошаровий теплообмінник прямого випарного охолодження [17].

У розрахунках потрібно брати до уваги той факт, що встановлення на конденсатори додаткових адіабатичних поверхонь зменшує витрати повітря через теплообмінну поверхню, тобто, з одного боку, ми зменшуємо температуру повітря, що надходить до конденсатору, а з іншого – збільшуємо  $\Delta t$ .

У нашому випадку зниження температури конденсації в системі з R454 C до  $38,6^{\circ}\text{C}$  завдяки одноступеневому адіабатному охолодженню дасть змогу повністю відповісти проектним умовам потужності (табл. 8). Звернемо увагу на те, що змінення умов роботи компресора впливає на збільшення температурних градієнтів як на випарнику, так і на конденсаторі. Тому покращення температури конденсації, які могли б впливати тільки на компресор у розмірі приблизно 17%, в цілому на системі дали покращення 13% внаслідок росту температурного градієнта на випарнику.

**Таблиця 8. Показники компресора (6FE-44Y) з урахуванням використання адіабатичного охолодження (AO) повітря на вході в конденсатор**

Показники	Холодоагент+пристрій		
	R22	R454C	R454C + AO
Температура кипіння $t_{\text{ev}}, ^{\circ}\text{C}$	-5	-3	-3,2
Температура конденсації $t_{\text{cond}}, ^{\circ}\text{C}$	45,0	47,1	38,6
Переохолодження рідини $t_{\text{sc}}, \text{K}$	1	1	1
Повний перегрів $\Sigma t_{\text{sh}}, \text{K}$	8	8	8
Перегрів у випарнику $t_{\text{sh}}, \text{K}$	6	6	6
Частота обертів $freq, \text{Гц}$	50	50	50
Холодопродуктивність $Q, \text{kВт}$	93,8	82,0	93,9
Споживання компресора $N, \text{kВт}$	33,4	32,1	29,3
Навантаження на конденсатор $QN, \text{kВт}$	128	115	124
COP	2,80	2,55	3,21

#### Додаткове переохолодження рідкого холодаагенту

Найбільш ефективним методом збільшення холодопродуктивності є додаткове переохолодження рідкого холодаагенту перед ТРВ (табл. 9). Збільшення переохолодження холодаагенту на  $1^{\circ}\text{C}$  дає 1,5–2% підвищення холодопродуктивності, тобто одна й та сама маса холодаагенту може отримати більше тепла за відповідних умов у випарнику, якщо має нижчу температуру на вході в ТРВ.

**Таблиця 9. Підвищення продуктивності компресору (6FE-44Y R454C) при додатковому переохолодженні рідини**

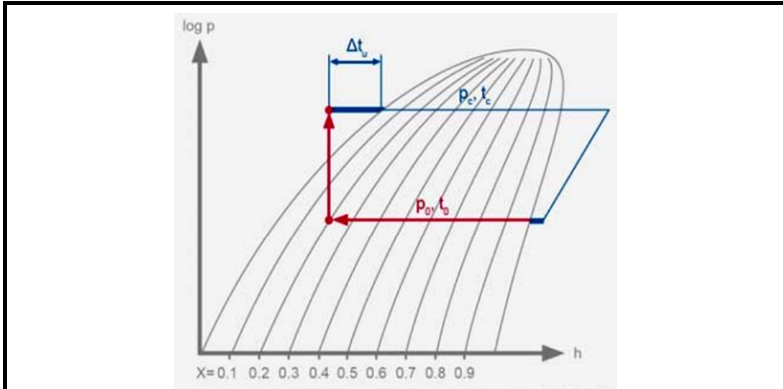
Змінення параметрів	Температура кипіння, $^{\circ}\text{C}$											
	0		-10			-20			-30			
Зміна ПО, К	1	10	20	1	10	20	1	10	20	1	10	20
Зріст потужності, %	1,06	10,30	18,40	1,12	10,70	19,10	1,30	11,10	19,80	1,42	11,90	20,90

Технічно переохолодження рідкого холодаагенту здійснюють внутрішні й зовнішні переохолоджувачі. Це можуть бути теплообмінні апарати або холодильні машини. Внутрішні апарати додатково навантажують конденсатор холодильної машини, що потребує покращення. Зовнішні апарати мають власну теплообмінну поверхню для віддавання тепла зовнішньому середовищу. Теплообмінні апарати витрачають в рази менше електричної енергії, ніж холодильні машини. Проте розмір переохолодження зовнішніх теплообмінних апаратів залежить від умов зовнішнього середовища, а холодильні машини можуть бути розраховані на будь-яке переохолодження. Чим більше розмір переохолодження рідини на вході в ТРВ, тим більше тепла може забрати випарник у об'єкта охолодження. Зазвичай є деякі обмеження.

Виробники ТРВ встановлюють рекомендоване значення вмісту пари при дроселюванні  $x > 0,2$  (20%) незалежно від холодаагенту, що використовується (рис. 4). Менший вміст пари в процесі дроселювання може привести до швидкого фрикційного зносу вентиля. У табл. 10 надані орієнтовні мінімальні температури переохолодження для R454C.

Як було зазначено вище, теплообмінні апарати-переохолоджувачі залежать від умов зовнішнього середовища. Температурний гайд R454C 7,8 К в системі, яка розглядається і має температурний градієнт 12,1 К між температурою повітря на вході в конденсатор і температурою точки роси на лінії конденсації, практично унеможливлює використання додаткового повітряного переохолоджувача. У системі, яка розглядається, при температурі повітря на вході в конденсатор 35 °C температура холодаагенту, що виходить з конденсатору, складає 39,5 °C, тобто перепад 4,5 К має потенціал до 4%, що в даному випадку не є суттєвим покращенням холодопродуктивності шляхом переохолодження рідини. Суттєвим переохолодженням, що може надати 13% холодопродуктивності, які втратила система при переході з R22 на R454C, буде при температурі рідини на вході в ТРВ 26,4 °C (табл. 11). Забезпечити такий рівень переохолодження можуть повітряні теплообмінники-переохолоджувачі з багатошаровими адіабатичними панелями з одно- або двоступеневим охолодженням. Ефективне випаровування води відбувається в зрошуваних теплообмінниках, що складаються з теплообмінних елементів, які містять шаруватий теплопровідні матеріал із гідрофільним і гігроскопічним покриттям [19].

В інших випадках це можуть реалізувати з більшими енергетичними витратами переохолоджувачі на базі окремих холодильних машин.



*Рис. 4. Діаграма для визначення максимально можливого переохолодження для регулюючого вентиля (вміст пари у вентилі 20%) [18]*

*Таблиця 10. Мінімальна температура переохолодження рідини для R454C*

Температура «точки роси» на лінії кипіння	Тиск (абс.), бар	Мінімальна температура переохолодження, °C
0	4,54	23,4
-5	3,82	19,7
-10	3,20	15,9
-15	2,65	12,0
-20	2,18	8,1
-25	1,78	4,6
-30	1,44	5,9
-35	1,15	5,2
-40	0,91	4,6

*Таблиця 11. Показники компресору (6FE-44Y) з використанням зовнішнього переохолоджувача (ПО)*

Показники	Холодаагент+пристрій		
	R22	R454C	R454C + ПО
Температура кипіння $t_{cv}$ , °C	-5	-3	-3,2
Температура конденсації $t_{cond}$ , °C	45,0	47,1	47,0
Переохолодження рідини $t_{sc}$ , K	1	1	14
Повний перегрів $\Sigma t_{sh}$ , K	8	8	8
Перегрів у випарнику $t_{sh}$ , K	6	6	6
Частота обертів freq, Гц	50	50	50
Холодопродуктивність $Q$ , кВт	93,8	82,0	93,9
Споживання компресора $N$ , кВт	33,4	32,1	32,0*
Навантаження на конденсатор $QN$ , кВт	128	115	114
COP	2,8	2,55	2,94

\*без урахування електричного споживання переохолоджувача

### Оптимізація процесів холодильної системи

Будь-яке технічне рішення, навіть найкраще, може мати потенціал для покращення. Це стосується як окремої холодильної машини, так всієї системи охолодження, в якій вона працює. І цей потенціал ефективного використання наявної холодильної потужності криється у збільшенні коефіцієнта робочого часу холодильної машини й зменшенні теплових навантажень на холодильну систему. Такими методами

можуть бути: прискорення процесу відтаювання повіtroохолоджувачів, зменшення теплових втрат при відтаюванні, зменшення надлишкового обмерзання теплообмінних поверхонь, акумуляція холоду.

Зробити більше «холоду» холодильна машина може за рахунок зростання коефіцієнта робочого часу, завдяки оптимізації процесів, пов'язаних із відтаванням повіtroохолоджувачів. На добу час відтаювання забирає від 10 до 20% робочого часу в камерах зберігання. Скорочення часу відтаювання дає холодильні машині більше часу, щоб виробляти «холод». Такими заходами можуть бути: прискорення часу відтаювання при заміні повітряного відтаювання на електричне, або гарячою парою, активізація відтаювання не за часом, а за потребою, організація послідовного відтаювання на повіtroохолоджувачах.

Заходи, що зможуть привести до зниження теплових втрат під час відтаювання взагалі зменшать розрахункове навантаження на холодильне обладнання. Крім прискорення циклу, це можна робити автоматичним закриттям вільних отворів повіtroохолоджувачів під час відтаювання, або додатковою теплоізоляцією корпусів.

Зменшити час відтаювання можна також при обмеженні впливу надлишкового обмерзання. Встановлення штор і повітряних завіс, організація тамбурів, швидкісних автоматичних дверей та пристрій щільного примикання автотранспорту до вантажних отворів, оптимізація логістики вантажів у камері – це головні заходи, що зменшують інфільтрацію повітря крізь відкріті отвори до камери.

Збільшення теплообмінної поверхні, покращення теплообміну зменшують температурні дельти на випарниках, що суттєво впливає на конденсацію вологи [15].

Відносна вологість повітря, у свою чергу, є функцією приплива тепла в камеру, що зумовлює тривалість роботи охолоджуючих пристрій, а отже, і їх осушуючу дію. Дослідження показали, «що максимуми усихання співпадають за часом з максимумами припливів тепла» [20].

Ефективними заходами скорочення теплового навантаження можуть стати: додаткова теплоізоляція, зменшення споживання освітлення електричними вентиляторами повіtroохолоджувачів тощо.

Акумуляція холоду є додатковим інструментом для підвищення потужності. Добові коливання температури зовнішнього повітря і нерівномірність експлуатаційних навантажень створюють умови, за яких середнє навантаження на холодильне обладнання значно менше за розрахункове пікове. У моменти зменшення навантаження виникають можливості для акумулювання «холоду».

У холодильних камерах зберігання і «на великих виробництвах із 2–3-змінним режимом роботи графік теплових навантажень більш рівномірний (наприклад, як на рис. 5). При подібних коливаннях теплового навантаження використання систем з акумулюванням холоду стає недоцільним. Рекомендації, розроблені й опубліковані ВНІХІ, радять акумулювати холод при тривалості пікових теплових навантажень не більше 4 годин на добу й при перевищенні ним середньодобового теплового навантаження більш ніж на 40%» [21]. Це більш стосується традиційних рішень з використанням систем охолодження рідини. Проте і для вказаних умов акумуляція можлива. Як акумулятор може застосовуватися і продукт, і важкі внутрішні будівельні конструкції.

Виробники холодильного обладнання також пропонують розміщувати в потоці холодного повітря спеціальні ємності з евтектичною середовою, що ефективно акумулює «холод» під час роботи холодильної машини і віддає його, коли обладнання зупиняється по температурі чи для відтаювання.

### Методи підвищення енергетичної ефективності холодильної системи

Енергоспоживання холодильної машини – не менш важливий фактор впливу на обсяги викидів CO<sub>2</sub>, бо теплові станції, що цю енергію виробляють, постійно викидають в атмосферу CO<sub>2</sub>. Середньосвітовий показник вуглеродомісткості електроенергії у 2018 році становив близько 479 г CO<sub>2</sub>/(кВт·год) [22].

Тому необхідно проводити модернізацію таким чином, щоб, як мінімум, не погіршити попереднього рівня споживання, а як максимум, зробити роботу холодильної машини більш ефективно.

У прикладі, що розглядається, заміна R22 на R454C приведе до зміни основного показника холодильної машини – СОР при максимальних навантаженнях і температурах зовнішнього середовища:

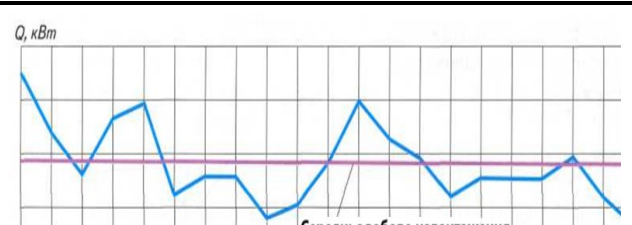


Рис. 5. Добовий графік теплового навантаження

- при однакових умовах кипіння й конденсації (табл. 2): -8,6%;
- на режимі, що встановиться (табл. 4): -8,9%;
- при застосуванні ПЧ або додатковим компресором (табл. 6): -15,7%;
- при застосуванні адіабатичного охолодження повітря (табл. 8): +14,6%;
- при застосуванні адіабатичного переохолоджувача (табл. 11): +5%.

Отже, із точки зору необхідності покращення СОР використання частотного регулювання або застосування додаткового компресора тільки погіршить ситуацію з енергетичною ефективністю за високими температурами повітря. Проте можливість зменшувати надлишкову холодопродуктивність, підтримуючи стабільний тиск кипіння холодаагенту більшу частину року, забезпечить суттєве покращення річного показника СОР.

Метод використання адіабатичних технологій забезпечує високі показники СОР лише за високими температурами зовнішнього середовища, тобто протягом року у досить короткому проміжку часу. За умови, що більшу частину року в системі підтримується мінімальна температура конденсації, завдяки низьким температурам повітря, цей метод не дає особливової переваги при застосуванні в промислових холодильних системах. Проте він може бути високоефективним при використанні в системах кондиціонування повітря у літній період.

Ефективному покращенню СОР сприяють методи, які дають мінімальну дельту ( $\Delta t$ ) між показниками конденсації та кипіння у найбільшій кількості годин річного циклу. І принципова різниця в ефективності систем майже не лежить у площині вибору холодаагенту. Так, частково «вибір робочого тіла безпосередньо впливає на СОР. На практиці, між тим, СОР залишається майже постійним для широкого набору холодаагентів з суттєво різними тисками та щільністю, якщо при цьому температури випаровування і конденсації однакові. Відзначимо, що СОР залишається постійним в межах +/-10%» [23].

У табл. 12 продемонстровані значення СОР для двох холодаагентів на однакових режимах.

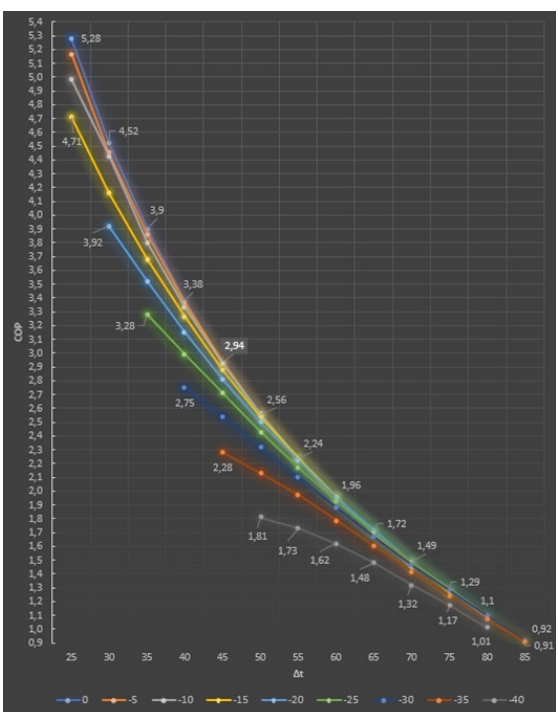
Достатньо зменшити перепад температур  $\Delta t$  до 4–5 К, щоб підвищити СОР R454C до рівня R22. І це можна зробити, або покращуючи роботу конденсатора чи випарника, або зменшуючи втрати тиску на лініях нагнітання і всмоктування.

Зміна значення СОР холодаагентів безпосередньо залежить від перепаду температур кипіння й конденсації (рис. 6). Якщо взяти середній показник СОР, то на різних температурах кипіння в нашому прикладі для R454C значення відрізняються не більше 6%.

У кожному конкретному випадку може бути той чи інший спосіб підвищення холодопродуктивності й енергоефективності, або комбінація декількох.

**Таблиця 12. Середнє значення СОР для R22 та R454C залежно від температур**

Температура конденсації (точка роси на лінії конденсації), °C	Середнє значення СОР при температурі кипіння	
	-5 °C (точка роси на лінії кипіння)	
50	2,48	2,23
45	2,80	2,56
40	3,19	2,94
35	3,64	3,36
30	4,20	3,86
25	4,89	4,45
20	5,79	5,17



**Рис. 6. Значення СОР R454C на різних температурах кипіння та різних перепадах  $\Delta t$  між температурами точок роси на лініях конденсації та кипіння**

## Висновки

Головна мета наданого матеріалу – на прикладі заміни у парокомпресійній холодильній машині холодоагентів R22 на холодоагент групи A2L (R454C) продемонструвати різноманітні методи переходу без погіршення умов технології охолодження. Цей перехід має стати не тільки екологічним і безпечним, а ще й потужним й енергетично ефективним.

У статті визначено основні змінення у роботі холодильної машини при заміні на холодоагент групи A2L, а саме змінення показників компресора, заміна мастила, врахування впливу температурного гайду, змінення у роботі конденсатора й випарнику.

Запропоновано засоби і методи для підвищення холодопродуктивності холодильної машини, а також методи підвищення енергетичної ефективності холодильної системи, визначено найбільш ефективний метод – зменшення перепаду температур  $\Delta t$  між температурами конденсації та кипіння у найбільшій кількості годин річного циклу.

## Література

1. Харлампи迪 Д. Х., Братута Э. Г., Шерстюк А. В. Расчет характеристик реверсивного кондиционера теплового насоса при переводе его на альтернативные хладагенты. *Интегрированные технологии и энергосбережение*. 2012. № 3. С. 78–83.
2. Joashi V., Prajapatir S., Bhatt S. B. Experimental performance of air conditioner using refrigerant R410A as alternative for R22. *International Journal of Advance Research in Engineering Science & Technology (IJAREST)*. 2015. Vol. 2. Iss. 4. P. 304–308.
3. Dang Y., Kim H.-S., Dang C., Hihara E. Measurement of vapor viscosity of R1234yf and its binary mixture with R32, R125. *International Journal of Refrigeration*. 2015. Vol. 58. P. 131–136. <https://doi.org/10.1016/j.ijrefrig.2015.06.010>.
4. Elgendi E., Hassanain M., Fatouh M. Assessment of R-438A as a retrofit refrigerant for R-22 indirect expansion water chiller. *International Journal of Refrigeration*. 2015. Vol. 50. P. 127–136. <https://doi.org/10.1016/j.ijrefrig.2014.07.017>.
5. Hadya B. Simulation of air conditioning system components and comparison of performance for three different refrigerants. *International Journal of Research in Engineering and Applied Sciences (IJREAS)*. 2016. Vol. 6. Iss. 6. P. 69–76.
6. Ardita I. N., Wirajati I. G. A. B., Susila I. D. M., Sudirman S. Performance analysis of retrofit R410A refrigerant with R32 refrigerant on a split air conditioner. *Journal of Applied Mechanical Engineering and Green Technology*. 2021. Vol. 2. No. 1. P. 1–4. <https://doi.org/10.31940/jametech.v2i1.2459>.
7. Sutandi T., Margana A. S., Sumeru K., Sukri M. F. Experimental study of R32 as a retrofit for R410A refrigerant in a residential air conditioner. *Advances in Engineering Research*. 2020. Vol. 198. P. 167–170. <https://doi.org/10.2991/aer.k.201221.029>.
8. Nagaraju P., Student P. G., Kumar Ch. K. Experimental study on performance parameters for refrigerants R22, R410A, and R404A at various air outlet temperatures. *International Journal of Engineering Research & Technology (IJERT)*. 2015. Vol. 4. Iss. 11. P. 348–352. <https://doi.org/10.17577/IJERTV4IS110372>.
9. Aziz A., Thalal A., Mainil A. K. Effect of cooling load on the performance of R22 residential split air conditioner when retrofitted with hydrocarbon refrigerant (HCR22). *Journal of Advanced Research in Fluid Mechanics and Thermal Sciences*. 2018. Vol. 48. Iss. 1. P. 100–108.
10. Макеєва К. М., Книш О. О. Обґрунтування застосування робочих речовин «нового покоління» у випарниках холодильних і теплонасосних установок. *Холодильна техніка та технологія*. 2019. Т. 55. № 4. С. 211–216. <https://doi.org/10.15673/ret.v55i4.1633>.
11. New EU F-Gas Regulation (A-510-1). BITZER: official site. Germany: Kühlmaschinenbau GmbH, 2014. 12 p. [https://www.bitzer.de/shared\\_media/documentation/a-510-1-2.pdf](https://www.bitzer.de/shared_media/documentation/a-510-1-2.pdf).
12. ANSI ASHRAE Standard 34-2022 add a-2022. American Society of Heating, Refrigerating and Air-Conditioning Engineers, Inc. (ASHRAE), 2022. <https://www.ashrae.org/>.
13. BITZER Software v6.18.0 rev2811. BITZER: official site. 2023. <https://www.bitzer.de/websoftware2>.
14. Refrigerant Report – Quick Guide (A-540-2). BITZER: official site. Germany: Kühlmaschinenbau GmbH, 2023. 12 p. [https://www.bitzer.de/shared\\_media/images/topic-stories/2023\\_refrigerants/part2/Refrigerant-Report-Quick-Guide\\_2023-10-23.pdf](https://www.bitzer.de/shared_media/images/topic-stories/2023_refrigerants/part2/Refrigerant-Report-Quick-Guide_2023-10-23.pdf).
15. Kotzaoglanian P. Manuel pratique de dépannage. Frigorifique, électrique et hydraulique. Manuel du dépanneur. Kotza International, 2006. 846 p.
16. Coolselector®2. v.5.5.0: Danfoss Software: official site. 2025.
17. Мольський С. М. Випарний переохолоджувач холодильного агенту: патент на винахід № 126060; заявл. 25.03.2020, № а201809347; опубл. 10.08.2022.
18. Influence of refrigerant subcooling on the refrigerating plant efficiency "Subcooling, but correctly!": Gunter Technical Article. Germany: Gunter AG & Co.KG, 2010. 17 p.
19. Reinders J. A. M. Heat exchange element: International Patent WO/2005/019739 A1. 2003.

20. Гоголин А. А. Кондиционирование воздуха в мясной промышленности. М.: Пищевая промышленность, 1966. 239 с.
21. Калюнов В. С., Тушев К. А. Системы ходоснабжения с льдоаккумуляторами: реализация трех обязательных условий. *Холодильная техника*. 2007. Т. 96, № 8. С. 14–19.
22. ECE /TRANS/WP.6/2022/6. Зарядка электромобилей: анализ выбросов CO<sub>2</sub>. Записка секретариата Европейской экономической комиссии. 73-я сессия ООН (Женева, 15–17 июня 2022 г.). <https://unece.org/sites/default/files/2022-04/ECE-TRANS-WP.6-2022-06r.pdf>.
23. Reay D., Macmichael D. Heat pumps: Design and applications. Oxford: Pergamon Press, 1978.

*Надійшла до редакції 04.02.2025*